

CODECs não destrutivos

Técnicas de compressão aplicadas a imagens monocromáticas

João Afonso Vieira de Sousa,
2019224599,
uc2019224599@student.uc.pt

José Domingos da Silva,
2018296125,
uc2018296125@student.uc.pt

Sancho Amaral Simões,
2019217590,
uc2019217590@student.uc.pt

Tiago Filipe Santa Ventura,
2019243695,
uc2019243695@student.uc.pt

Universidade de Coimbra, Licenciatura em Engenharia
Informática
Segundo ano, primeiro semestre, Teoria da Informação

Abstract—Este relatório pretende abordar métodos de compressão destrutivos e não destrutivos, focando-se sobretudo nestes últimos. Relativamente à parte mais teórica do mesmo, proceder-se-á à enumeração de alguns filtros, transformadas e algoritmos mais utilizados no âmbito da compressão de dados. Estes serão então explanados, analisados e comparados a fim de se deduzirem as aplicações mais adequadas para cada um destes. Quanto à parte experimental deste relatório, diversas soluções para a compressão de imagens monocromáticas (em especial, do *dataset* proposto) serão apresentadas, devidamente justificadas e comparadas com a solução *baseline* fornecida, o *PNG*.

Palavras-chave—destrutiva, não destrutiva, compressão, filtros, transformadas, monocromáticas, *dataset*, *PNG*

I. INTRODUÇÃO

Na atualidade, com a quantidade incomensurável de informação processada e enviada diariamente, tornou-se cada vez mais impreterível a engenharia de métodos para a flexibilização e utilização menos dispendiosa e menos exigente, em termos de infraestrutura, do fluxo dessa mesma informação. A compressão, mais que uma mais-valia, transformou-se numa necessidade. A menos que se trabalhe com supercomputadores no quotidiano, unidades de armazenamento de gigantescas dimensões e exageradas larguras de banda, nunca seria possível acompanhar o ritmo necessário ao funcionamento do próprio mundo, tão dependente da rápida partilha de conhecimentos e saberes entre indivíduos separados por grandes distâncias. Tomemos como exemplo a corrente pandemia do COVID-19: a elaboração de uma vacina provou ser um trabalho hercúleo, sendo extremamente dependente de estudos e ensaios clínicos sobre as mais variadas receitas para a vacinação. Empresas, farmácias e centros clínicos de todo o mundo, mesmo enquanto este relatório está a ser escrito, trabalham sem parar, confrontando as suas descobertas com as dos seus pares do outro lado do globo. Este é um claro exemplo da necessidade de transmissão de informação em tempo e espaço reduzido. Para tal objetivo ser concretizado é, portanto, necessário recorrer a técnicas de compressão de dados, que se podem dividir em dois tipos: *lossless* (não destrutiva) e *lossy* (destrutiva).

II. COMPRESSÃO *LOSSY* VS COMPRESSÃO *LOSSLESS*

A. Compressão *lossy*

Em muitos casos, é necessário comprimir um determinado conjunto de dados de modo a que, quando descomprimido, a informação seja idêntica à inicial, isto é, durante o processo de compressão, a informação não é adulterada – compressão *lossless* (não destrutiva ou entrópica). Atente-se neste exemplo: a compressão do texto não deve alterar o seu conteúdo, uma vez que isto implicaria a modificação de caracteres e, portanto, poderia fazer com que certos segmentos textuais deixassem de fazer sentido e/ou adquirissem sentidos diferentes. Entre as várias técnicas de compressão *lossless* encontram-se os algoritmos de Lempel-Ziv (*LZ77*, *LZ78*, *LZMA*, *LZW*, ...), para propósito geral, *Dolby TrueHD*, para áudio, e *PNG*, para imagens.

B. Compressão *lossy*

Os sentidos do corpo humano, tais como a visão e a audição, apresentam limitações, isto é, existem limiares (frequências), a partir dos quais os sinais (eletromagnéticos e sonoros) se tornam indetetáveis. A compressão *lossy* (destrutiva) tira partido deste facto: trechos de um conjunto de dados considerados impercetíveis ou descartáveis para o ser humano são removidos em troca de um ganho substancial de espaço. Alguns exemplos de algoritmos de compressão *lossy* são: *JPEG*, para imagens e *Dirac*, para vídeo.

III. TÉCNICAS DE COMPRESSÃO *LOSSLESS*

O processo utilizado por um típico *codec lossless* pode ser resumido através do seguinte diagrama:

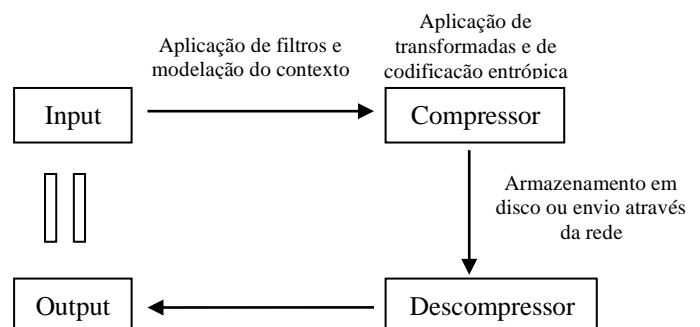


Fig.1: Diagrama simplificado da estrutura de um *codec*

Os filtros e transformadas são transmutações reversíveis aplicadas aos dados que possuem o propósito de tornar o *input* mais comprimível. É de salientar que, no entanto, as últimas apresentam uma vertente algorítmica mais complexa. Alguns exemplos destes mecanismos serão apresentados adiante.

A modelação do contexto é uma etapa na qual ocorre a definição de um modelo probabilístico que utiliza o contexto onde os símbolos ocorrem (através dos símbolos precedentes) para determinar o número de bits utilizados para os codificar.

O compressor e descompressor possuem o papel de, como o próprio nome indica, comprimir e descomprimir os dados, de modo a que o *Input* seja idêntico ao *Output*, uma vez que se trata de compressão não destrutiva.

A. Filtros

Os filtros, também designados por métodos de predição, quando aplicados a um conjunto de dados, reduzem a entropia deste, isto é, potenciam a sua redundância estatística.

De seguida, apresentam-se alguns destas transformações comumente utilizados no algoritmo de compressão *PNG - delta filters*. [1].

1) Sub

Cada *byte* é substituído pela sua diferença com o anterior/posterior.

2) Up

Cada *byte* é substituído pela sua diferença com o de cima.

3) Average

Cada *byte* é substituído pela sua diferença com a média entre o símbolo anterior e posterior, truncando-se qualquer parte decimal resultante.

4) Paeth (Alan W. Paeth, 1956)

Cada *byte* é substituído pela sua diferença com o preditor de *Paeth* dos bytes anterior, acima e superior esquerdo. ($P_{Paeth} = left + above - upperleft$)

Segue abaixo um exemplo claro de como os filtros, neste caso o filtro *sub*, reduzem substancialmente a dispersão de uma fonte.

$X = [1, 2, 3, 4, 5, 4, 3, 4, 3, 2, 1]$

$X' = [1, 1, 1, 1, 1, -1, -1, 1, -1, -1, -1]$

$H(X) \approx 2.231, H(X') \approx 0.994$

Sub

B. Transformadas

As transformadas são aplicadas a um conjunto de dados de modo a que os algoritmos de compressão possam depois atuar de forma mais eficiente. Algumas permitem reduzir a dispersão dos dados e outras apenas agrupam símbolos de contexto semelhante e, como a entropia não tem em conta a ordem, permanece inalterada. De seguida, são apresentadas algumas das transformadas mais utilizadas no âmbito da compressão de dados.

1) Burrows-Wheeler Transform (BWT)

Esta transformada permite aumentar a redundância espacial de um dado conjunto de dados, agrupando símbolos de contexto idêntico. [2]

Aplicação da BWT:

a) Gerar a matriz de rotações da *string* a codificar.

b) Ordenar lexicograficamente as linhas da matriz obtida.

A *string* codificada é a última coluna. É necessário guardar o índice da linha da matriz onde a sequência original aparece juntamente com a *string* codificada para possibilitar uma sua posterior reconstrução.

Inversão da BWT:

Reconstrução da matriz de rotações da *string* original:

i) Começar com a *string* codificada na última coluna

ii) Ordenar lexicograficamente as linhas da matriz.

iii) Prefixar a(s) coluna(s) atuais com a coluna correspondente à *string* codificada.

iv) Voltar ao passo ii) até que se complete a matriz de rotações (ordenada).

A *string* original (descodificada) é a que consta na linha de índice igual ao guardado na fase de codificação.

Nota: Existem algoritmos mais eficientes para a aplicação da BWT, nomeadamente através de um *array* de sufixos da *string* a codificar.

2) Move to front (MTF)

A ideia principal por detrás deste algoritmo consiste em ter uma lista com os caracteres do alfabeto da fonte a codificar. Habitualmente, esta é procedida da aplicação de uma transformada *BWT* ou de um *RLE* (*Run Length Encoding*). [3]

Aplicação da MTF:

i) Ler o símbolo atual da *string* a codificar. O código que lhe é atribuído corresponde ao índice da posição onde aparece na lista de símbolos.

ii) Mover o símbolo em questão para a frente da lista.

iii) Voltar ao passo i) até que se complete o processamento de toda a *string*.

3) Transformada discreta de cosseno (DCT – Discrete Cosine Transform - Nasir Ahmed, 1972)

A DCT permite definir um conjunto discreto de dados (no caso das imagens, utilizando-se usualmente blocos de 8x8 pixels) através da sobreposição de funções de cosseno, definida numa sequência finita de pontos. É de notar que cada função destas possui uma componente em x e em y.

Dada a finitude do conjunto em questão, é possível enumerar todas as possibilidades de funções de cosseno. Qualquer bloco depois pode ser gerado através de uma combinação linear dessas mesmas funções, cujos coeficientes são integrados na codificação.

É importante salientar que a DCT foi inicialmente desenvolvida para ser aplicada em algoritmos de compressão *lossy*, uma vez que permite remover detalhes imperceptíveis pelo olho humano (correspondentes às frequências mais elevadas). No entanto, é também utilizada no âmbito da compressão não destrutiva. [4][8]

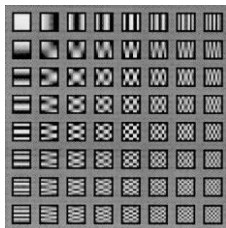


Fig. 2: Tabela com todas as possibilidades das funções de cosseno para blocos de 8x8 pixels
Fonte: Adaptado de [4]

C. Algoritmos de compressão

Com a evolução das necessidades, os *codecs* (não destrutivos) foram-se especializando para tratar determinados tipos de dados. No entanto, atualmente, a maioria apresenta visíveis similitudes, nomeadamente, no que diz respeito aos algoritmos base utilizados. Dentro destes algoritmos base, estão: codificação de *Huffman*, codificação aritmética, codificação por dicionários (família *Lempel-Ziv*). Ou seja, qualquer técnica de compressão *lossless* moderna, contém, algures no seu núcleo, pelo menos um dos algoritmos referidos (ou variantes destes) a correr. Alguns destes mesmos algoritmos serão a seguir brevemente descritos.

1) Algoritmos base de compressão *lossless*

a) Run Length Encoding (RLE)

Este algoritmo tira partido da redundância espacial de um dado conjunto de dados. Corridas de um dado símbolo *a*, de tamanho $n > 3$, são substituídas pelo *token* (\neg, a, n), onde \neg é um caráter de escape predefinido. [6]

b) Codificação de *Huffman* (*Huffman Encoding* - David A. Huffman, 1952)

A codificação de *Huffman* parte do princípio que, aos símbolos com maior probabilidade de ocorrência,

deve ser atribuído um código de menor comprimento. É construída uma árvore binária cujas folhas correspondem aos símbolos a codificar e os nós intermédios são símbolos compostos, cujo valor de probabilidade é a soma das probabilidades dos seus ascendentes. Esta técnica permite obter códigos de prefixo e, portanto, unicamente descodificáveis. [7]

c) LZ-77 (*Abraham Lempel, Jacob Ziv, 1977*)

O LZ-77 é um código de dicionário que permite tirar partido da repetição de sequências de símbolos ao longo de um conjunto de dados e, em oposição ao que acontece nos códigos de *Huffman*, não necessita de conhecimento *a priori* da fonte. São utilizadas duas estruturas: o *search buffer* (SB), correspondente à janela com os últimos símbolos N_S processados e o *look-ahead buffer* (LB), que contém os próximos N_L símbolos por processar.

A ideia central deste algoritmo é a de procurar no SB o maior padrão que ocorre no LB. Caso esse padrão se encontre, é transmitido o *token* (*offset, l, next*), onde o *offset* é a distância relativa do padrão encontrado à posição atual do SB, *l* o seu comprimento e *next* o código do próximo símbolo.

Apesar de o LZ-77 não utilizar qualquer conhecimento estatístico sobre a fonte, o seu desempenho aproxima-se muito do de codificadores entrópicos. Uma vez que o tamanho do SB é limitado, não é possível encontrar padrões repetidos de grandes dimensões. Portanto, como alternativas mais eficientes e também mais usadas na atualidade, existem o LZ-78 e o LZW. [9]

2) Algoritmos modernos de compressão *lossless*

a) Bzip2 (*Julian Seward, 1996*)

O Bzip2 é um algoritmo de compressão capaz de comprimir qualquer tipo de ficheiro individualmente, não podendo atuar sobre arquivos. Esta técnica de compressão *lossless* apresenta múltiplas camadas de compressão. [6]

Etapas de compressão do Bzip2:

- i) RLE dos dados iniciais.
- ii) Transformada BWT em blocos de até 900 KB.
- iii) Transformada MTF.
- iv) RLE do resultado da transformada MTF.
- v) Codificação de *Huffman*.
- vi) Seleção entre várias tabelas de *Huffman*.
- vii) Codificação unária da seleção da tabela de *Huffman* (corrida de 1's seguida de um 0).
- viii) Aplicação do filtro *sub* nos tamanhos dos símbolos de cada tabela de *Huffman* selecionada.

b) Deflate (Phil Katz)

O algoritmo de compressão *deflate* foi inicialmente desenvolvido para ser utilizado em ferramentas de compactação de arquivos como *PKZIP* e *GZIP* (.zip). [7]

Etapas de compressão do Deflate:

- i) Divisão dos dados em blocos.
- ii) Aplicação do *LZ-77* em cada bloco.
- iii) Codificação de *Huffman* com geração de duas árvores: uma para codificar os símbolos e comprimentos das cadeias encontradas pelo *LZ-77* e outra para codificar os *offsets* contidos em cada *token* formado pelo mesmo.

c) Lossless JPEG (1993)

O *Lossless JPEG* foi uma nova funcionalidade adicionada ao *standard JPEG* para permitir a compressão não destrutiva de imagens. [5]

Etapas de compressão do Lossless JPEG:

- i) Descorrelação dos dados através da aplicação de filtros (métodos de predição).
- ii) Aplicação de um codificador entrópico nos resíduos resultantes (códigos de *Huffman* ou códigos Aritméticos, por exemplo).

d) O algoritmo de compressão utilizado no PNG (Portable Network Graphics - 1996)

O *PNG* é o formato de dados para imagens mais utilizado na atualidade, não só pela sua elevada versatilidade, mas também porque dispõe de até 2^{24} cores (*RGB*) e 2^8 graus de transparência (canal *alpha*). Além do mais, a compressão de imagens é efetuada sem qualquer perda de informação, alcançando taxas de compressão bastante elevadas quando comparadas com as de algoritmos de propósito mais geral, como o *Bzip2* ou o *Gzip*.

O *PNG* será abordado com mais detalhe mais à frente neste relatório, uma vez que constitui a solução *baseline* para a compressão do *dataset* de imagens monocromáticas fornecido. [1]

Etapas de compressão do PNG:

- i) Aplicação de preditores nos dados.
- ii) Aplicação do algoritmo *deflate* nos resíduos resultantes do passo anterior.

3) Aplicações dos algoritmos de compressão lossless

Após a enumeração de alguns algoritmos de compressão não destrutiva e sua breve descrição, há que destacar que a

existência da diversidade destas técnicas permite satisfazer a variedade de tipos de dados que existem e as particularidades que cada um destes apresenta. No caso das imagens, será mais adequado utilizar algoritmos como o implementado no formato *PNG* ou o *Lossless JPEG* em detrimento de métodos de compressão de propósito mais geral como o *Bzip2*, enquanto que nos ficheiros de texto será mais eficiente utilizar códigos de *Huffman* ao invés de *RLE*.

Dentro do domínio das imagens, podemos ter também especificidades que necessitam de algoritmos mais *well suited*, na medida em que apresentam um melhor desempenho no que toca à compressão de imagens do subdomínio associado. Por exemplo, falando-se do *dataset* que foi proposto (conjunto de imagens em tons de cinzento), que é um subdomínio dentro do domínio das imagens, é possível, certamente, encontrar uma técnica de compressão não destrutiva mais eficiente do que a utilizada no *PNG*, ao serem estudadas meticulosamente as particularidades das imagens monocromática. É exatamente este trabalho de investigação que foi desenvolvido e será explanado adiante, neste relatório.

4) Critérios de escolha de um algoritmo de compressão

Habitualmente, a escolha de um algoritmo de compressão para uma determinada finalidade, tem em conta os seguintes critérios: [8]

- Eficiência de compressão (Taxa de compressão).
- Velocidade de compressão/descompressão.
- Complexidade de implementação.
- Robustez.
- Escalabilidade.

Relativamente à parte experimental deste relatório, será dada preferência a soluções que priorizem a eficiência de compressão do *dataset* fornecido.

REFERÊNCIAS

- [1] G. Roelofs, "PNG: The Definitive Guide", Cap. 9, 1999.
- [2] A. Martubs, F. Laranjeira, J. Cunha, L. Silva, "Transformada de Burrows-Wheeler", Universidade Fernando Pessoa, <http://multimedia.ufp.pt/codecs/compressao-sem-perdas/supressao-de-sequencias-repetitivas/metodo-de-burrows-wheeler/>, acessado em 25/11/2020.
- [3] A. Kaur, "Move To Front Data Transform Algorithm", GeeksForGeeks, <https://www.geeksforgeeks.org/move-front-data-transform-algorithm/>, acessado em 25/11/2020
- [4] D. Marshal, "The Discrete Cosine Transform (DCT)", 10/04/2001, <https://users.cs.cf.ac.uk/Dave.Marshall/Multimedia/node231.html>, acessado em 26/11/2020.
- [5] "Lossless JPEG", Wikipedia, https://en.wikipedia.org/wiki/Lossless_JPEG, acessado em 25/11/2020.
- [6] S. Ikmulwar, D. Kapgate, "A Review on: Lossless Image Compression Techniques and Algorithms", outubro 2014.
- [7] A. Gupta, A. Bansal, V. Khanduja, "Modern Lossless Compression Techniques: Review, Comparison and Analysis", Dept. of Information Technology of Delhi
- [8] L. J. Karam, "Lossless Image Compression", Arizona State University, Cap. 16, pp 385-419.
- [9] P. Carvalho, "Teoria da Informação", Faculdade de Ciências e Tecnologia da Universidade de Coimbra, Cap. 2, 2020/2021